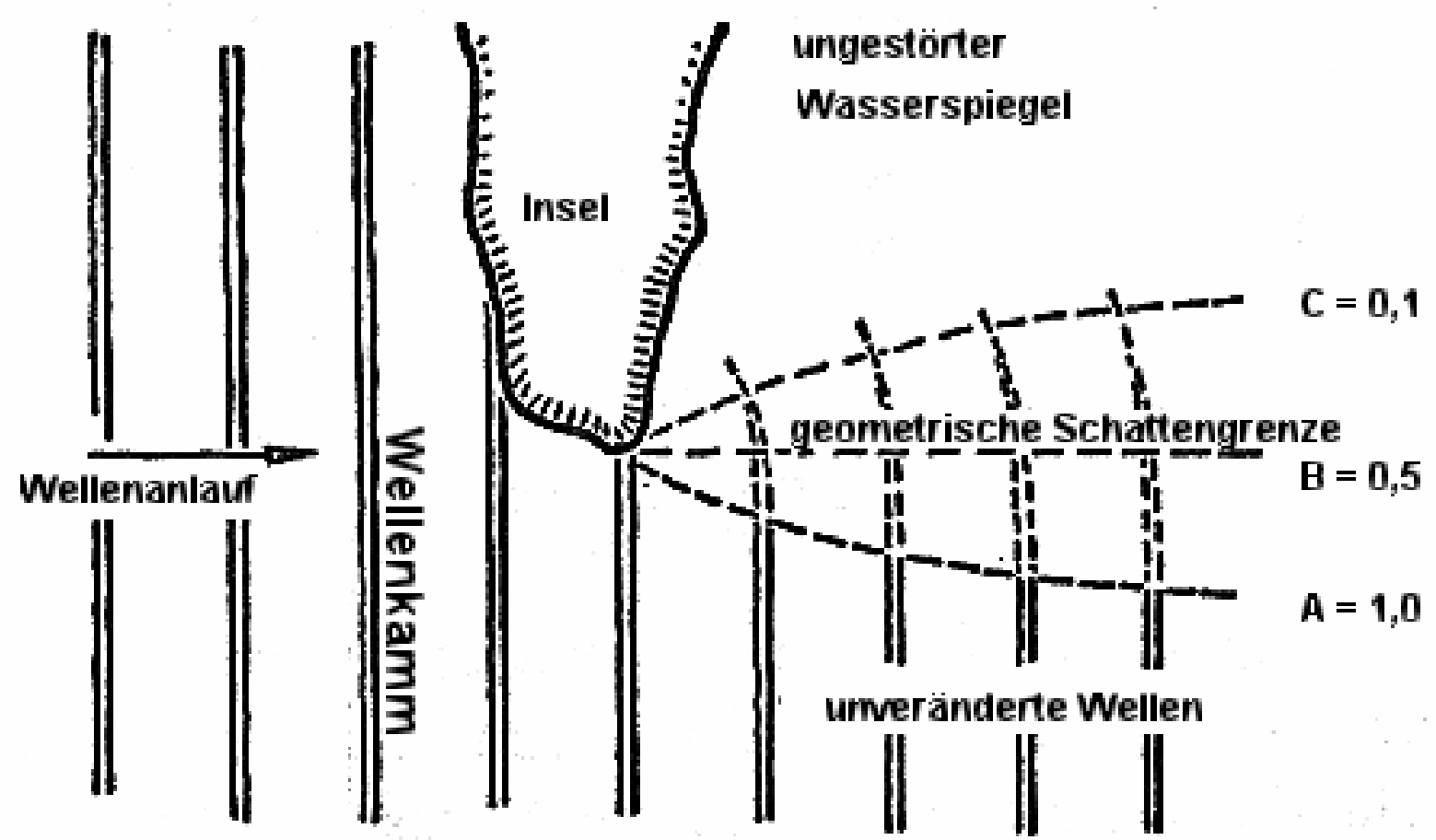
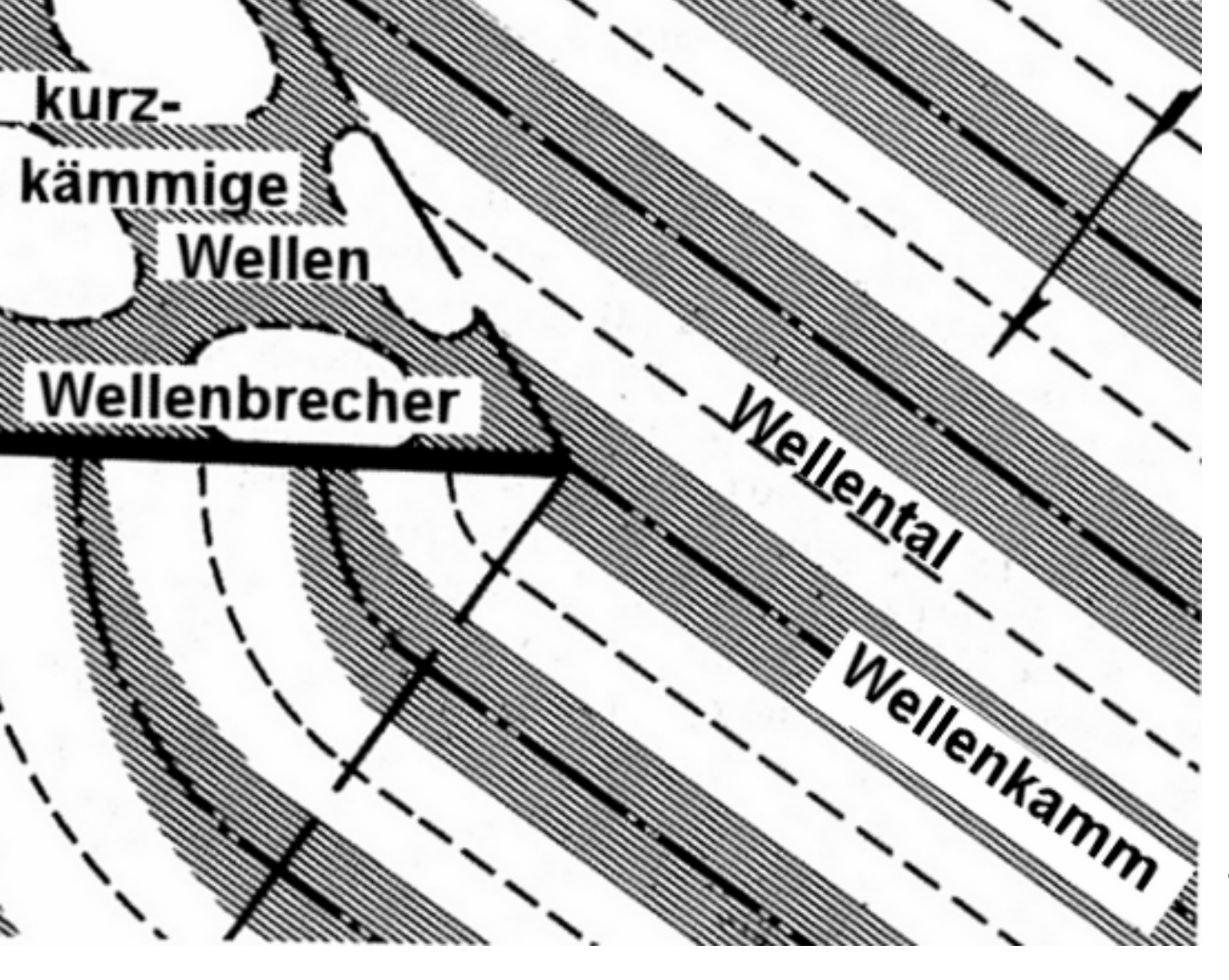
## <u>Diffraktion</u>





Ähnlich der Streuung des Lichtes an einer Kante breiten sich auch Wasserwellen hinter Hindernissen aus. Dabei gelangt Wellenenergie entlang der Kammrichtung aus dem Gebiet A - B in das Gebiet B - C. Die Wellenhöhe nimmt dabei von A nach C ab.



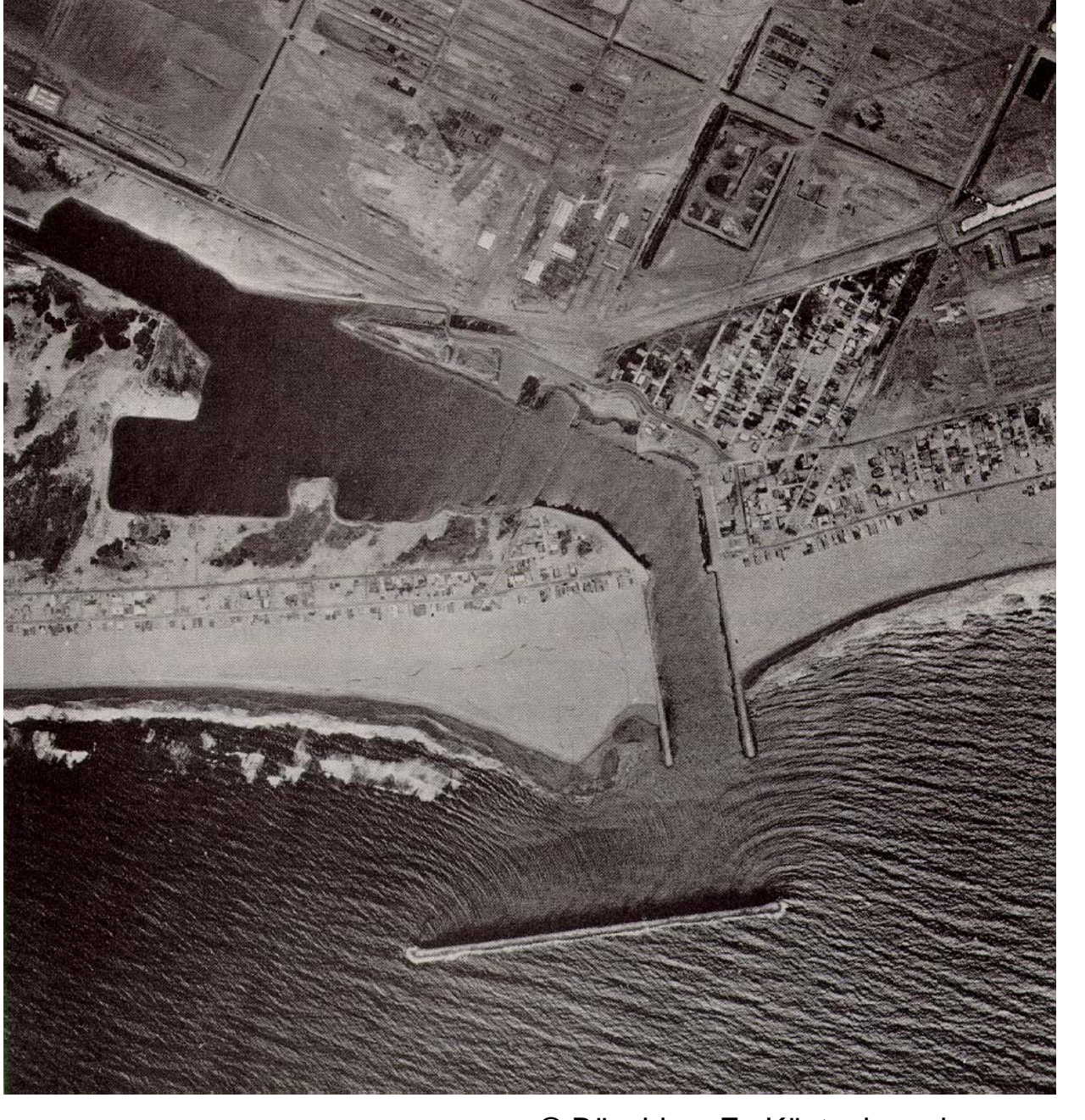
Die Diffraktion/ist eine Erscheinung, die sowohl im Tiefwasser als auch in Bereichen geringerer Wassertiefe beobachtet wird.

In dieser Skizze ist die Diffraktion als *einziger* Effekt dargestellt.

Hinter dem Bauwerk erscheinen die Wellenkämme "gebeugt". In Bauwerksnähe ist die Richtung des Wellenfortschritts etwa parallel zur Bauwerkslängsachse. Vor dem Bauwerk: Kabbelsee.

© Büsching, F.: Küsteningenieurwesen

2002/16.2



Insbesondere ist / (n die Diffraktion für die Anordnung von Wellenbrechern und Molen vor Hafeneinfahrten von Bedeutung. Hier kommen Refraktion und Reflexion hinzu. Bei ungünstigen Anordnungen kann Refraktion der Auslöser von Hafenbeckensesonanzen sein. (→ Beckenschwingungen)

© Büsching, F.: Küsteningenieurwesen

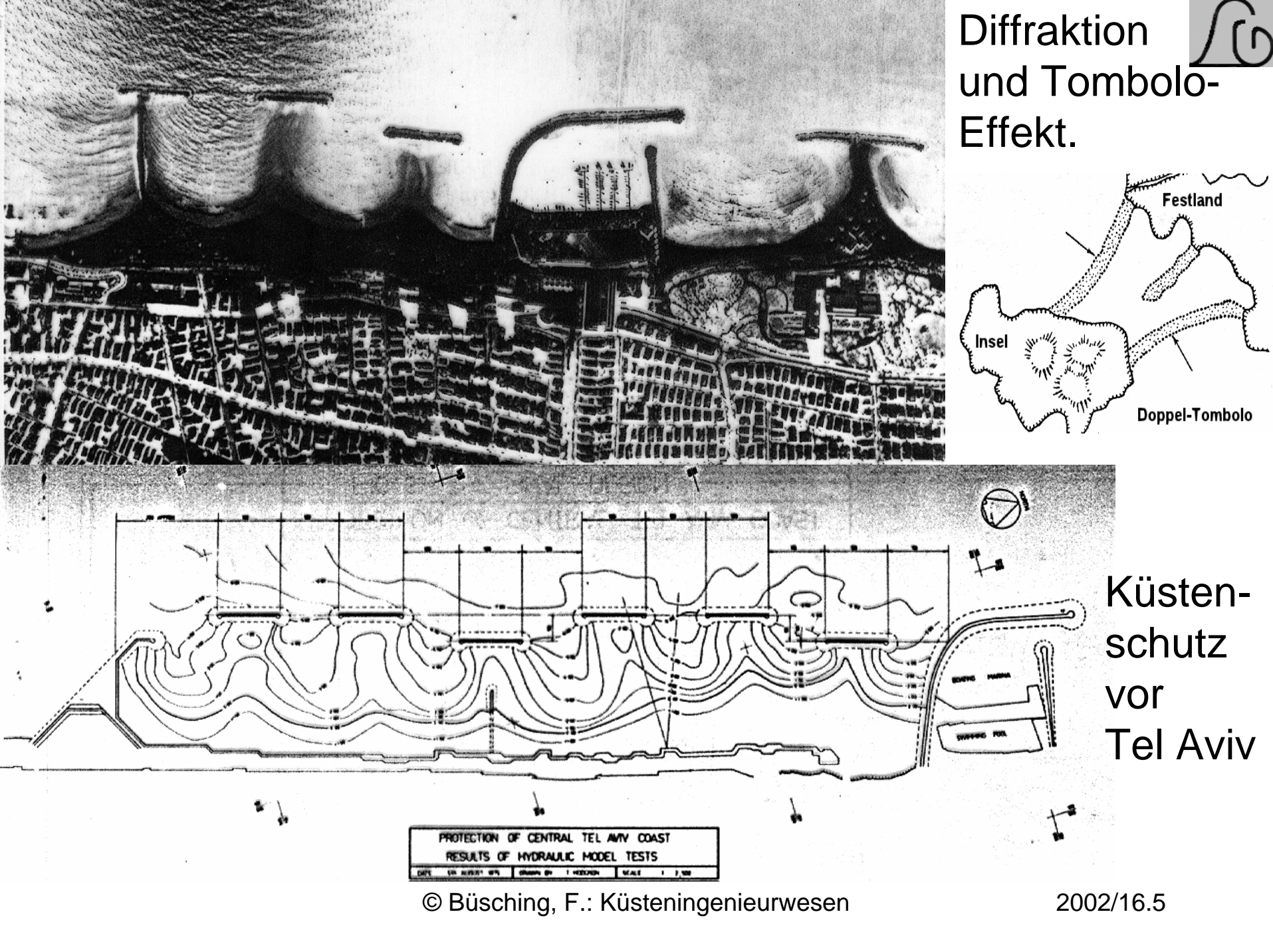




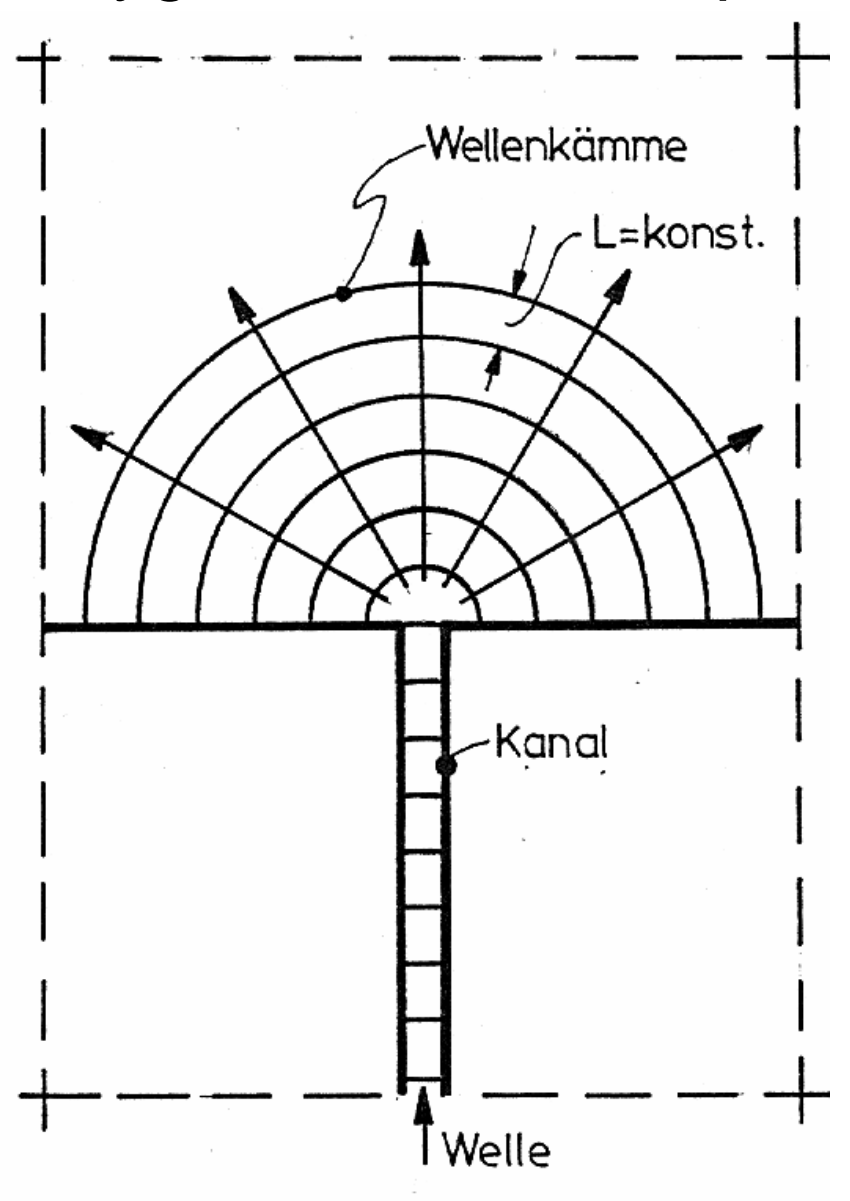
Tombolo-Effekt an der Leeseite.

An den beiden Enden eines küstenparallelen Wellenbrechers trans portieren gebeugte Wellen Feststoff (Sand) hinter das Bauwerk.

Ggf. besteht auch die Gefahr der Versandung einer Hafeneinfahrt.
© Büsching, F.: Küsteningenieurwesen 2002/16.4



## Huygenssches Prinzip der Wellenausbreitung



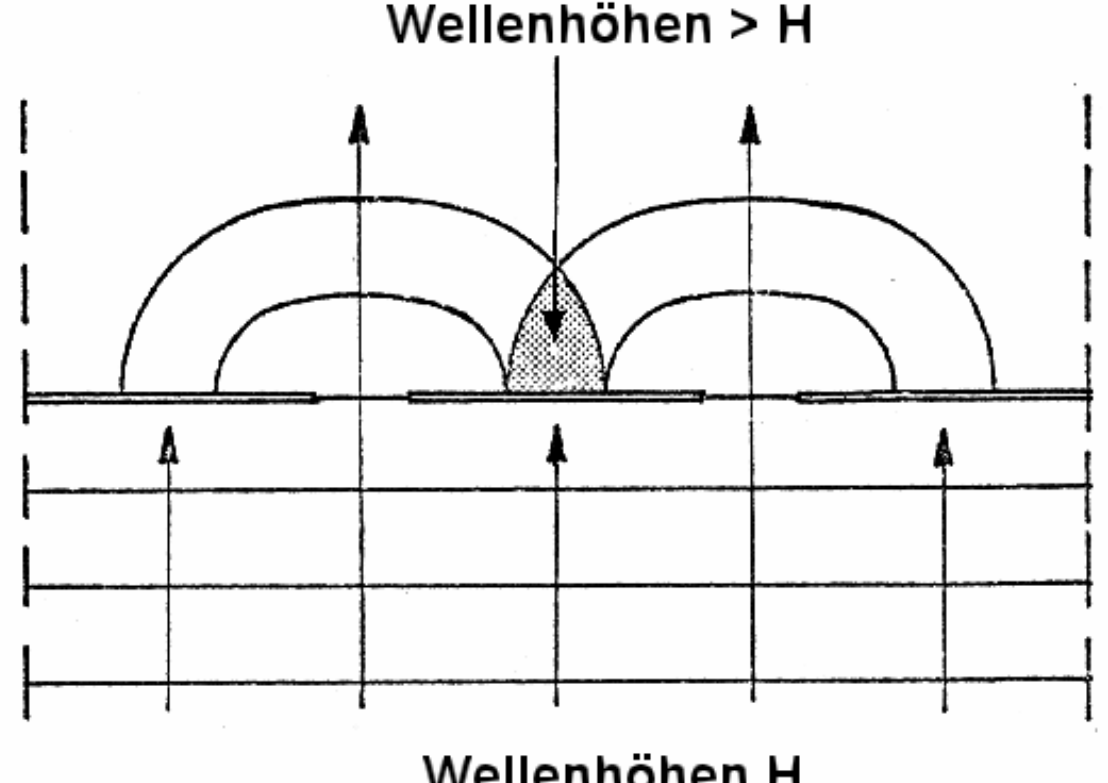
Diffraktion liegt auch bei dem Fall des Austretens einer Welle aus einem Kanal in ein Becken vor, dessen Wassertiefe etwa konstant sein möge. Die Beugung erfolgt hier an den Endkanten des Kanals.

Bei sehr schmalem Austritt entstehen annähernd konzentrische Ringwellen, deren Höhen mit zunehmender Entfernung abnehmen.

Dabei verteilt sich die Wellen-

energie senkrecht zur Wellenausbreitrichtung entlang des Kammes. Da der Kamm länger wird, muss die Wellenhöhe abnehmen. (→ Energiesatz)

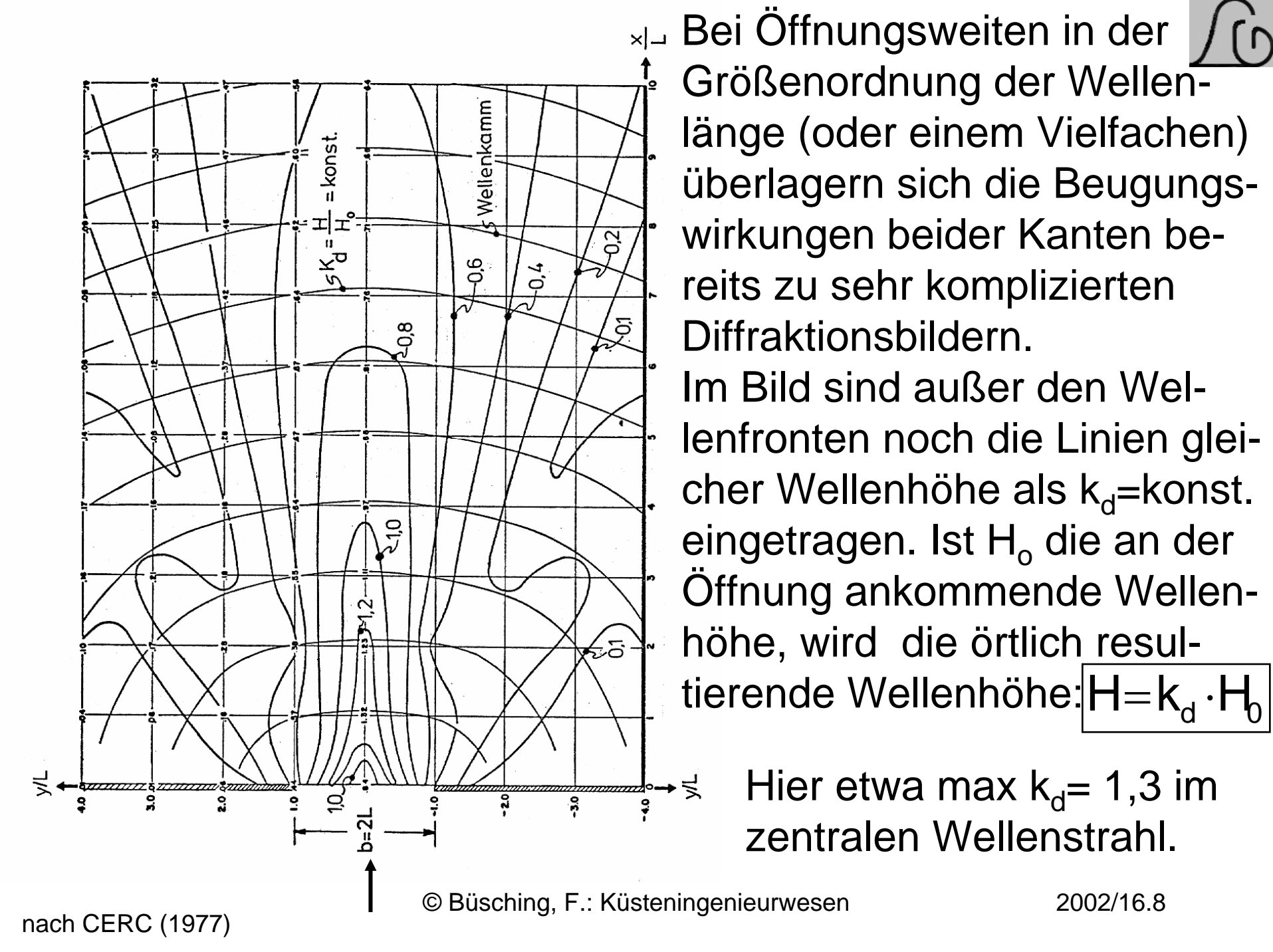


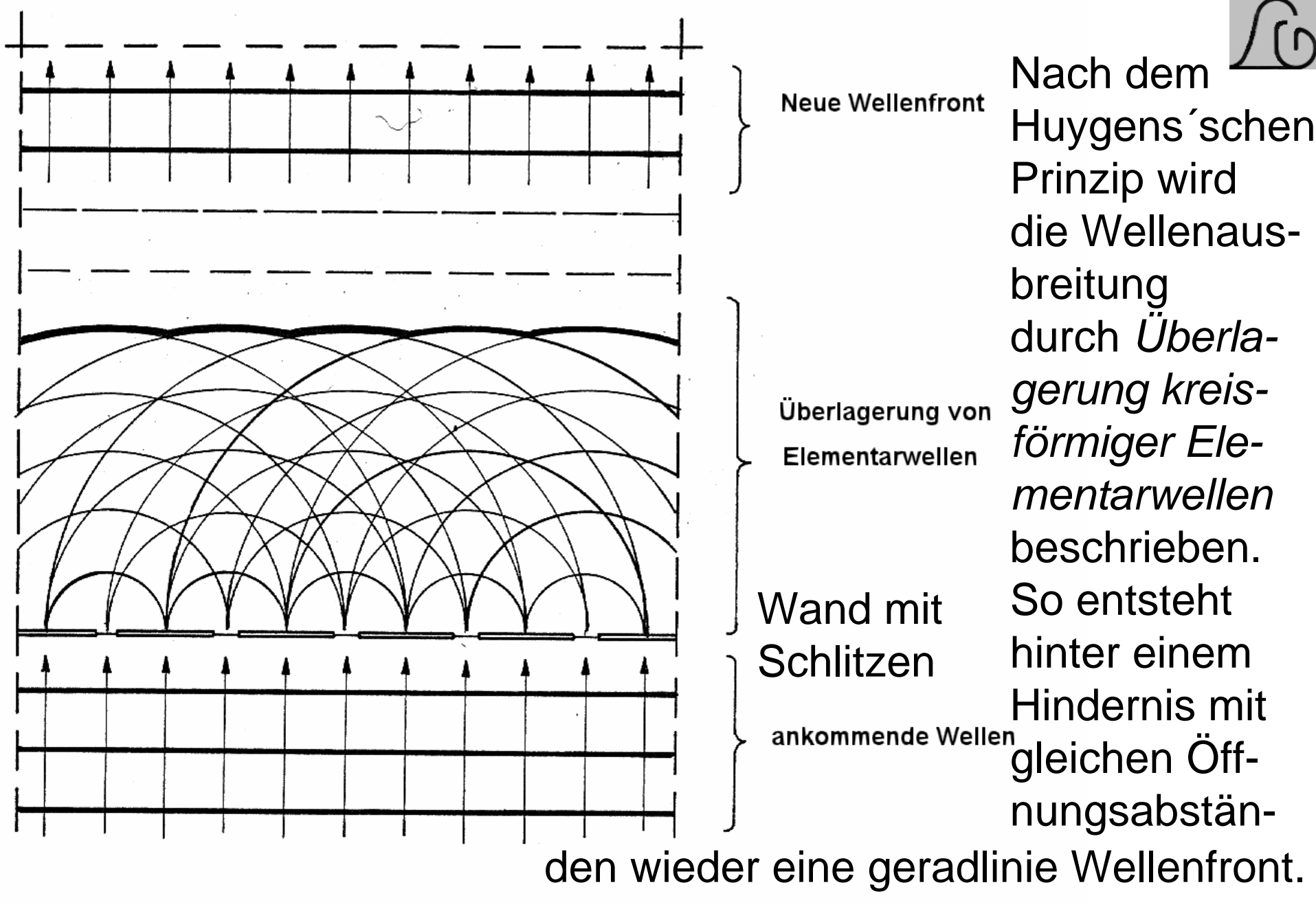


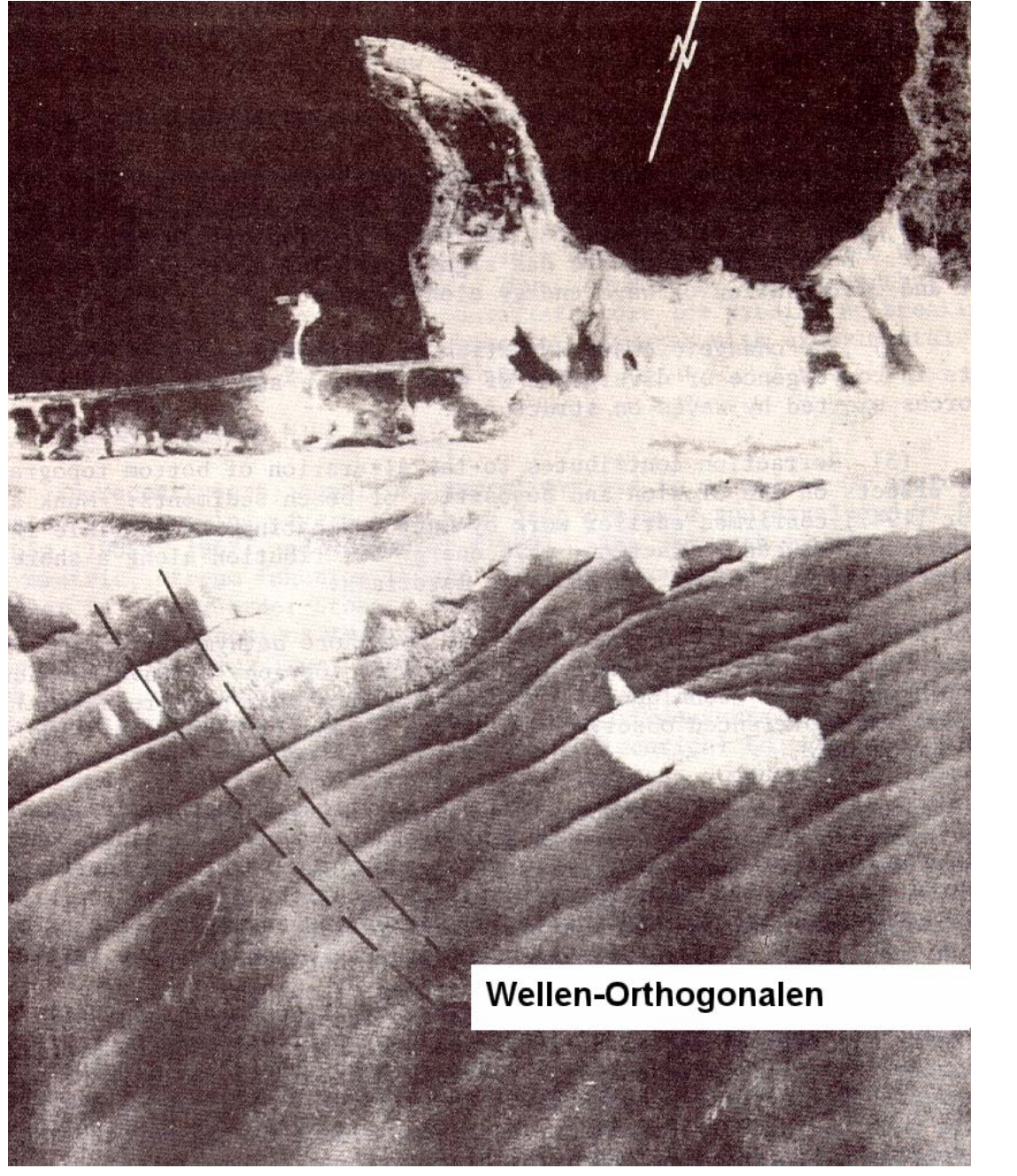
Wellenhöhen H

Bei größerer Austrittsbreite entstehen durch die Beugung an den beiden Kanten (bzw. durch das Fehlen der seitlichen Begrenzungen) annähernd elliptische Wellen.

Durch Interferenzen können in Diffraktionsgebieten Wellenhöhen entstehen, die größer sind als die Ausgangswellenhöhe H.





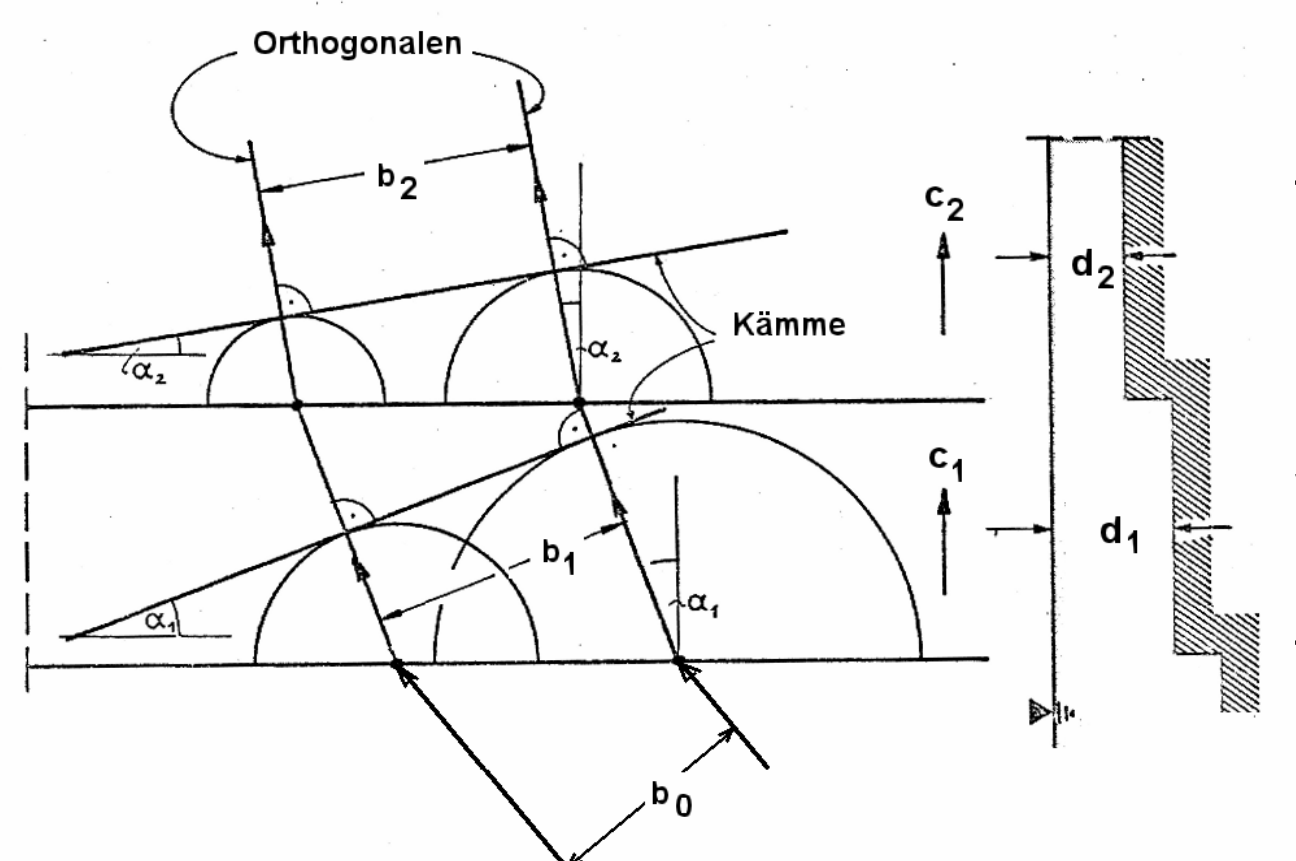


## Refraktion



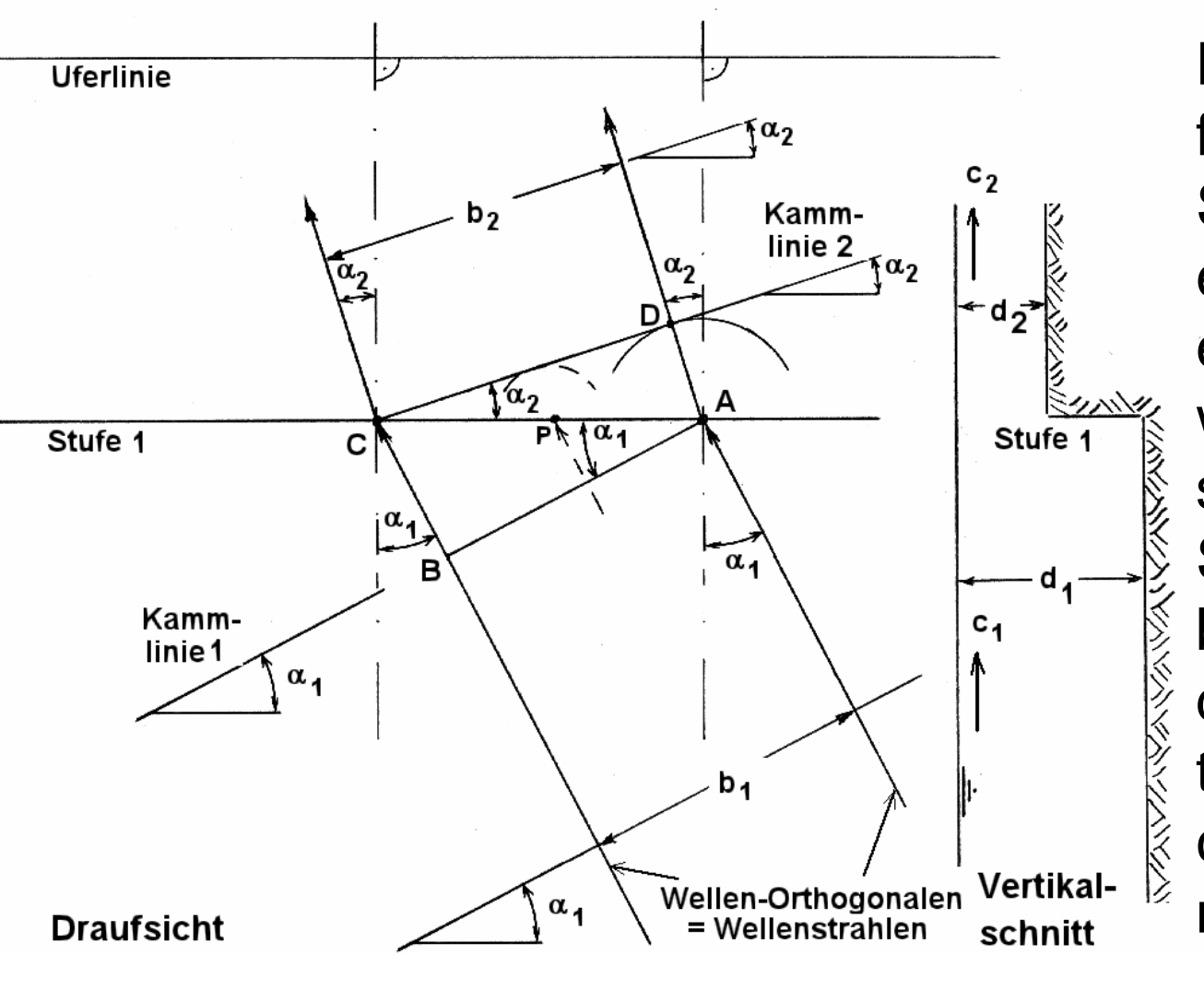
Die Wellenrichtung wird umso stärker normal zu den Tiefenlinien eingebeugt je geringer die Wassertiefe wird. Das von anderen Wellen bekannte, nach SNELLIUS benannte Brechungsgesetz gilt auch für Wasserwellen. Die Richtungsänderung der Wellen kann auf die Abhängigkeit der Wellenfortschrittsgeschwindigkeit von der Wassertiefe zurückgeführt werden.





Seewärts der Tiefenlinie d = L/2 ist die Wellenfortschrittsgeschwindigkeit von der Wassertiefe unabhängig. Refraktion findet nicht statt.

Der Prozess der Refraktion wird durch eine diskontinuierliche Tiefenabnahme genähert: Gelangen Wellen der Schnelligkeit  $c_i$  an einer Stufe i unter dem Winkel  $\alpha_i$  in ein Gebiet geringerer Wassertiefe  $d_{i+1} < d_i$ , erfolgt Brechung der Wellen-Orthogonalen zur jeweiligen Lotlinie der Stufe derart dass  $\alpha_{i+1} < \alpha_i$ .



Der bei A auf Stu-/ fe 1 treffende rechte Strahl (Kammlinie 1) erzeugt dort eine elementare Ringwelle (Huygens), die sich oberhalb der Stufe mit  $c_2(d_2)$  ausbreitet, während sich der linke Strahl weiterhin mit  $c_1(d_1) > c_2(d_2)$  von B nach C bewegt.

Zwischen A und C (z.B. bei P) auftreffende Strahlen verursachen ebenfalls Ringwellen. Zum Zeitpunkt des Auftreffens des linken Strahls bei C ergibt sich die Kammlinie 2 als Tangente (C-D) an die Ringwellen.

© Büsching, F.: Küsteningenieurwesen 2002/16.12

In derselben Zeitspanne wird vom rechten Wellenstrahl die Strecke AD und vom linken Wellenstrahl die Strecke BC zurückgelegt.

Mit der Strecke AC = a, der Strecke BC  $\sim$  c<sub>1</sub> und Strecke AD  $\sim$  c<sub>2</sub> ergeben sich in dem aus zwei rechtwinkligen Dreiecken bestehenden Poligon A-B-C-D die folgenden Kreisfunktionen:

$$\sin \alpha_1 = \frac{c_1}{a}$$

$$\sin \alpha_2 = \frac{c_2}{a}$$

$$\cos \alpha_1 = \frac{b_1}{a}$$

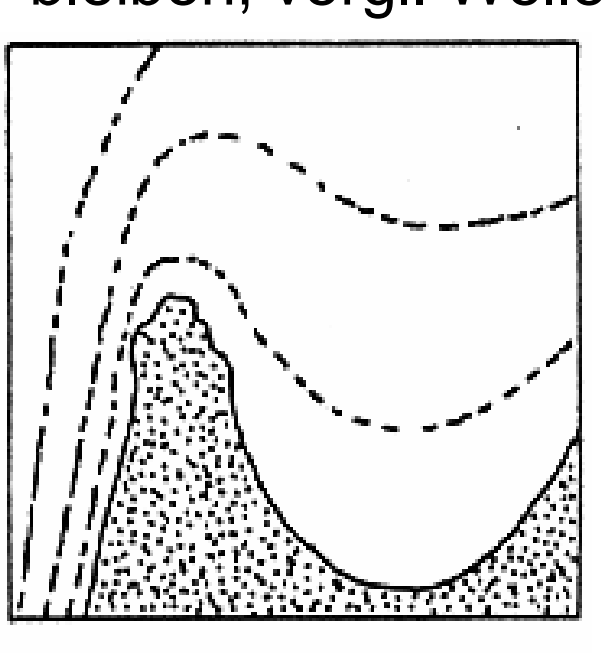
$$\cos \alpha_2 = \frac{b_2}{a}$$

und weiterhin die Verhältniswerte des Snellius schen Brechungsgesetzes zu:

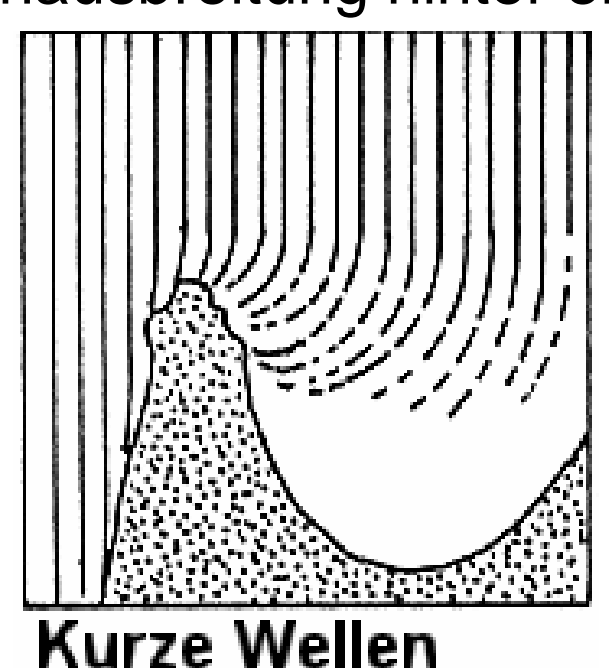
$$\frac{\sin \alpha_1}{\sin \alpha_2} = \frac{c_1}{c_2} = \frac{L_1}{L_2} \qquad \text{und} \qquad \frac{\cos \alpha_1}{\cos \alpha_2} = \frac{b_1}{b_2}$$

## Folgerungen:

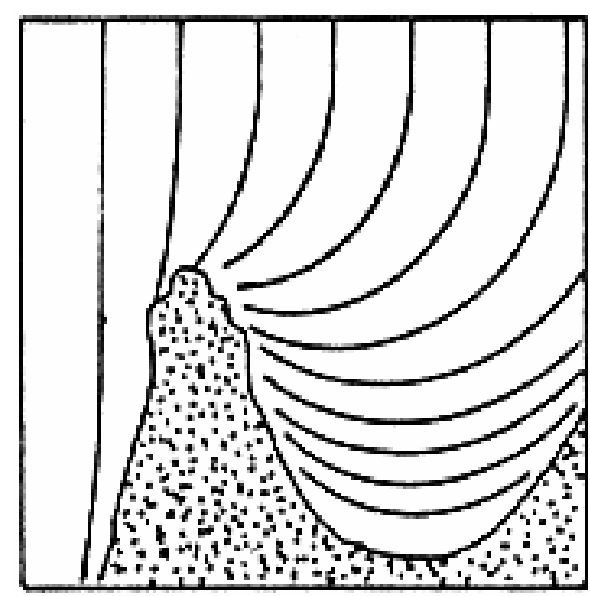
Seewärts der Tiefenlinie d = L/2 ist die Wellenfortschrittsgeschwindigkeit von der Wassertiefe unabhängig. *Refraktion* findet hier nicht statt. Lange Wellen können demnach über einer entsprechenden Wassertiefe von der Refraktion betroffen sein, während kurze Wellen weitgehend vom Boden unbeeinflusst bleiben, vergl. Wellenausbreitung hinter einem Kap:



Tiefenlinien an einem Kap



Nur Diffraktion

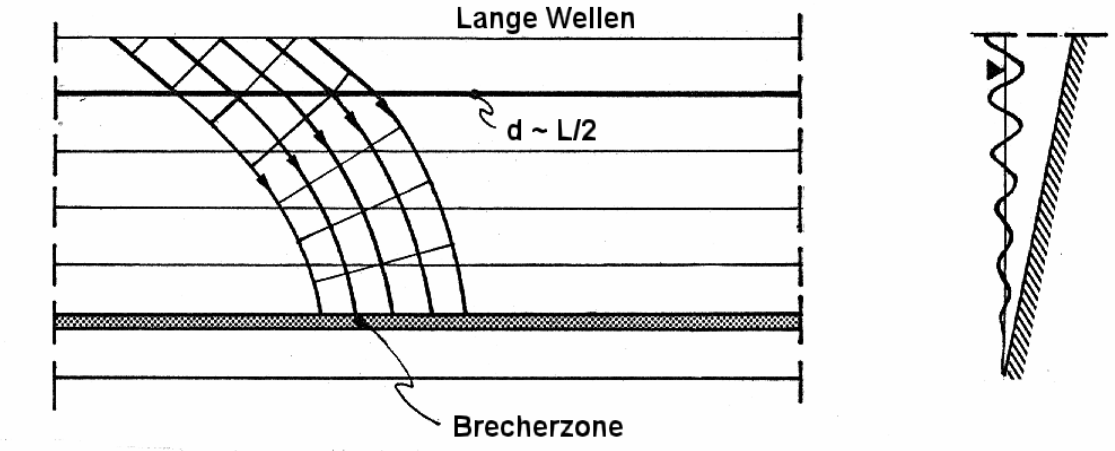


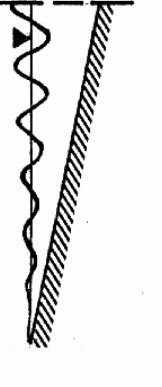
Lange Wellen
Diffraktion und
Refraktion

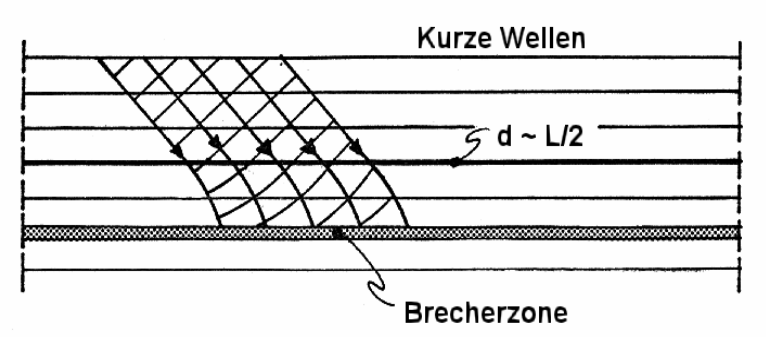
© Büsching, F.: Küsteningenieurwesen

2002/16.14

Bei uferparallelen Tiefenlinien wären die Wellenkämme an der 20 Uferlinie (d = 0) parallel und die Orthogonalen dazu senkrecht, wenn nicht vorher das Wellenbrechen einsetzen würde. Bei schräger Wellenanlaufrichtung gibt es dementsprechend immer noch eine küstenparallele Richtungskomponente, die die Ursache für eine küstenparallele "Brandungsströmung" darstellt.









Zu der Aufsteilung der Wellen im Flachwasser, die oben bezüglich der normalen Wellenanlaufrichtung behandelt worden war, vergl. Wellentransformation (Shoaling), kommt bei der Refraktion noch der Einfluss des veränderlichen Abstandes b zwischen den Wellen-Orthogonalen hinzu.

Wird der Satz von der Erhaltung der Energie angewandt in der Form:

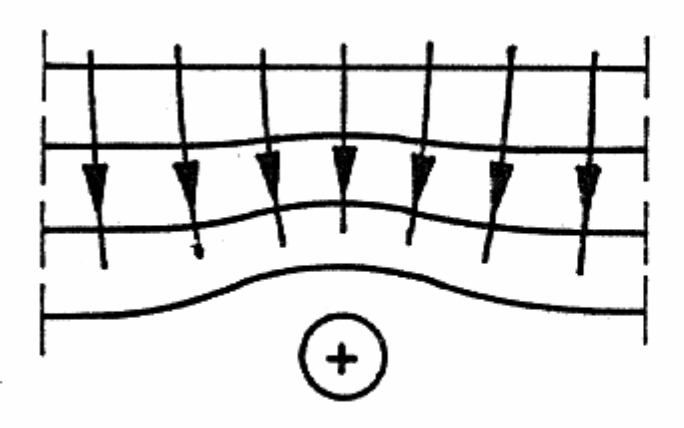
$$E = \frac{\gamma}{8} \cdot H_0^2 \cdot L_0 \cdot b_0 = \frac{\gamma}{8} \cdot H^2 \cdot L \cdot b$$

ergibt sich: 
$$H = H_0 \cdot \sqrt{\frac{1}{2 \cdot n} \cdot \frac{c_0}{c}} \cdot \sqrt{\frac{b_0}{b}} = H_0 \cdot k_s \cdot k_r$$

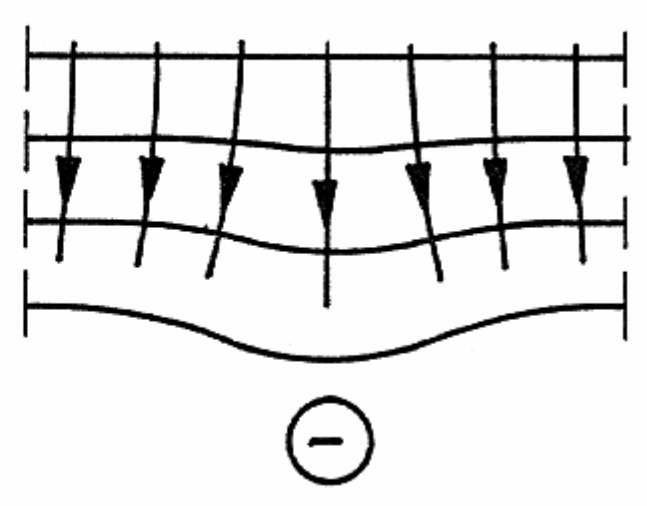
Bei zwei Wellen im Flachwasser:

$$H_2 = H_1 \cdot \sqrt{\frac{c_1}{c_2}} \cdot \sqrt{\frac{b_1}{b_2}}$$
 und mit  $c = \sqrt{g \cdot d}$ :  $H_2 = H_1 \cdot \sqrt[4]{\frac{d_1}{d_2}} \cdot \sqrt{\frac{b_1}{b_2}}$ 





Bei höftartiger Unterwassertopographie tritt mit b<sub>2</sub> < b₁ eine Konzentration der Wellenenergie auf.



Bei buchtartiger Unterwassertopographie tritt eine Vermindererung der Wellenenergie auf.

Für die Konstruktion von Refraktionsplänen, die insbesondere Auskunft über besonders gefährdete Küstenabschnitte geben, sind verschiedene Verfahren bekannt. Die Verfahren versagen jedoch, sobald die Unterwassermorphologie durch Formen gekennzeichnet ist, deren horizontale Abmessungen kleiner sind als die Wellenlänge. © Büsching, F.: Küsteningenieurwesen 2002/16.17

